

علل کمبود ولتاژ و جبرانسازی آن در سیستم توزیع

غضنفر شاهقلیان^{۱*}، زهرا عظیمی^۲

*- استادیار، گروه قدرت، دانشکده برق، دانشگاه آزاد اسلامی واحد نجف آباد shahgholian@iaun.ac.ir

- مرتبی، گروه قدرت، دانشکده برق، دانشگاه آزاد اسلامی واحد نجف آباد azimi_zhra@yahoo.com

چکیده: با پیشرفت سریع تکنولوژی در فرآیندهای کنترل صنعتی، صنایع بزرگ تقاضامند کیفیت توان بالاتری می‌باشند. در بین پدیده‌های کیفیت توان، کمبود ولتاژ از مهمترین مسائل و مشکلات سیستم‌های قدرت در مواجهه با صنایع پیشرفته می‌باشد. در این مقاله پس از مروری کلی بر روی پدیده کمبود ولتاژ، به بررسی اصلی ترین علل و عوامل رخداد این پدیده (خطاهای اتصال کوتاه، راهاندازی موتورهای القائی و انرژی دار شدن ترانسفورماتور) پرداخته می‌شود. سپس مشخصه‌های کمبود ولتاژ ارائه و در ادامه راهکارهای مورد استفاده در قدیم و امروزه جهت کاهش این پدیده، مورد بررسی و مقایسه قرار خواهد گرفت.

واژه‌های کلیدی: کیفیت توان، کمبود ولتاژ، خطاهای اتصال کوتاه، استارت موتورهای القائی بزرگ، انرژی دار شدن ترانسفورماتور، تنظیم کننده دینامیکی ولتاژ، جبرانگر دینامیکی ولتاژ

۱- مقدمه

مطلوب و صحیح کار کنند. از دید مصرف‌کنندگان، کیفیت توان موضوع مربوط به مصرف‌کنندگان است. طبق استاندارد IEE 1159-1995 هرگونه مشکلی که در ولتاژ، جریان و یا فرکانس ظاهر شده و باعث ایجاد خطأ یا عملکرد ناصحیح در تجهیزات الکتریکی مصرف‌کنندگان شود، عنوان یک مشکل کیفیت برق مطرح می‌شود. سیستم‌های توزیع نیروی برق، همیشه در معرض عوامل تخریب کننده شکل موج (ولتاژ و جریان) سینوسی از قبیل کمبود ولتاژ، بیشود ولتاژ، قطعی و ... هستند که این پدیده‌ها کیفیت توان و قابلیت اطمینان شبکه را کاهش می‌دهند [۶-۸]. این پدیده‌ها اغتشاشاتی‌اند که عمدها از طرف مصرف‌کنندگان به شبکه تحمیل می‌گردند و همچنین بروز این اغتشاشات، بر مصرف‌کنندگان دیگر و تجهیزات شبکه اثرات سوء دارد. در این قسمت به تعریف این سه پدیده مهم کیفیت توان می‌پردازیم [۹].

در بازار خصوصی برق، رعایت استاندارد کیفیت توان عنوان شاخص شایستگی برای رقابت شرکتهای برق پدیدار شده است [۱، ۲].

عمدتاً به چهار دلیل زیر، موضوع کیفیت توان، دارای اهمیت است:
۱- حساسیت بیشتر بارهای جدید نسبت به تغییرات کمی و کیفی

برق [۳-۵]

۲- استفاده از وسایل و تجهیزات الکترونیک قدرت برای افزایش راندمان و در نتیجه میزان هارمونیک‌ها در شبکه

۳- افزایش آگاهی مصرف‌کنندگان از موضوع کیفیت برق

۴- اتصال تجهیزات و وسایل الکتریکی از طریق شبکه‌ها و تأثیرات متقابل آنها

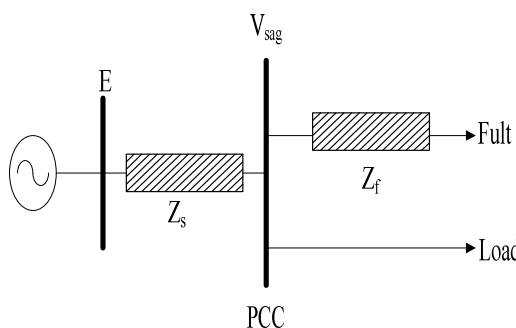
از دید تولیدکنندگان، کیفیت توان معادل قابلیت اعتماد تعریف شده است و از دید سازندگان تجهیزات الکتریکی، مشخصه و معیارهای منبع تغذیه، بطوریکه تجهیزات و وسایل مربوطه در آن شرایط بطور

۲- عوامل ایجاد کمبود ولتاژ

در میان همه طبقه‌بندی‌های اختشاشات الکتریکی، کمبود ولتاژ کابوسی برای این فرآیندهای اتوماتیک هستند. در پی تحقیقات گسترده کارشناسان مشخص شده است که ۸۵ درصد از عملکرد بد منبع توان (که به کیفیت توان ضعیف نسبت داده می‌شود)، بوسیله کمبود ولتاژ است [۱۰]. در این قسمت به عوامل ایجاد این پدیده و نحوه محاسبه آن اشاره شده است. با توجه به مطالعه عنوان شده، پیرامون کمبود ولتاژ، این پدیده جزء رویدادهای گذراشی فرکانس پایین و متوسط طبقه‌بندی می‌گردد

۳- خطاهای اتصال کوتاه

از مهمترین عوامل رخداد پدیده کمبود ولتاژ خطاهای اتصال کوتاه بوده، که خطاهای نامتقارن مانند اتصال کوتاه تکفاز به زمین سهم عمده‌ای را نسبت به خطاهای متقارن که به ندرت در سیستم‌های قدرت اتفاق می‌افتد، به خود اختصاص می‌دهد [۵ - ۷]. برای تعیین دامنه کمبود ولتاژ در شبکه‌های شعاعی می‌توان از مدل تقسیم ولتاژ استفاده نمود. این مدل مداری در شکل (۲) نشان داده شده است. در این شکل، Z_S امپدانس منبع در نقطه اتصال مشترک و Z_F امپدانس بین نقطه اتصال مشترک و محل خطأ می‌باشد.



شکل (۲): مدل تقسیم ولتاژ در محاسبه کمبود ولتاژ

ولتاژ در نقطه PCC و در ترمینال تجهیزات از رابطه زیر بدست می‌آید:

$$V_{sag} = \frac{Z_F}{Z_S + Z_F} E \quad (1)$$

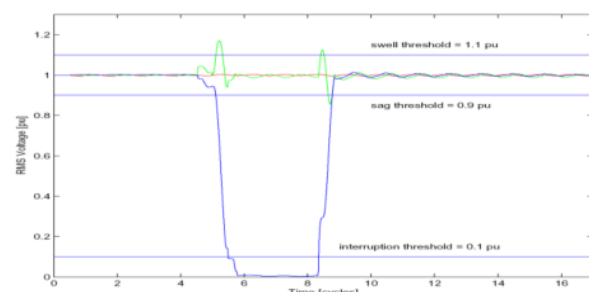
از معادله فوق به راحتی می‌توان دریافت که کمبود ولتاژ در حالتی که خط ازدیک مصرف‌کننده رخ دهد (Z_F کمتر باشد) و در سیستم‌هایی با کوچکترین سطح خط (Z_S بزرگتر باشد)، عمیق‌تر خواهد بود [۱۱]. جهت محاسبه دامنه کمبود ولتاژ در یک سیستم حلقوی و بر پایه تئوری تونن، می‌توان کمبود ولتاژ در بسیار کم

کمبود ولتاژ یا افت ولتاژ، کاهش بین ۰/۹ تا ۰/۰ پریونیت در مقدار مؤثر ولتاژ با فرکانس قدرت و برای مدت زمان نیم سیکل تا یک دقیقه است.

بیشبود ولتاژ، افزایش در ولتاژ مؤثر با فرکانس قدرت برای مدت زمان نیم سیکل تا یک دقیقه است. معمولاً مقادیر بین ۱/۱ تا ۱/۸ پریونیت هستند.

قطعی برق، یک تغییر کوتاه مدت است و از دست رفتن کامل ولتاژ ($>0.1\text{pu}$) در یکی یا بیشتر هادی‌های فاز، برای پریود زمانی بین نیم سیکل تا ۳ ثانیه است.

در شکل (۱) نمونه رویدادهایی که بعنوان کمبود ولتاژ، بیشبود و قطعی طبقه‌بندی می‌شوند، نشان داده شده است. همانطور که دیده می‌شود، کمبود ولتاژ هنگامی که یکی از ولتاژهای مؤثر به کمتر از مقدار آستانه کاهش می‌یابد، شروع و هنگامی که هر سه مقدار مؤثر ولتاژ به بالاتر از مقدار آستانه باز می‌گردد، پایان می‌یابد. آستانه کمبود ولتاژ، ۹۰ درصد ولتاژ مرجع انتخاب می‌شود و بیشبود ولتاژ هنگامی که یکی از کوچکترین ولتاژهای مؤثر به بالای آستانه صعود می‌کند، شروع و هنگامی که هر سه ولتاژ مؤثر به زیر مقدار آستانه باز می‌گردد، پایان می‌یابد. آستانه بیشبود، ۱۱۰ درصد ولتاژ مرجع انتخاب می‌شود و قطعی هنگامی که سه ولتاژ مؤثر به زیر مقدار آستانه کاهش می‌یابد، شروع و هنگامی که یکی از کوچکترین آنها به بالاتر از آستانه باز می‌گردد، پایان می‌یابد. آستانه قطعی، ۱۰ درصد ولتاژ مرجع انتخاب می‌شود. با توجه به این موضوع که کمبود ولتاژ تقریباً ۸۰ درصد از مشکلات کیفیت توان موجود در سیستم را شامل می‌شود. در قسمت اول این مقاله، به معرفی مختصری پیرامون عوامل ایجاد کمبود ولتاژ پرداخته می‌شود. در قسمت دوم مشخصه‌های کمبود ولتاژ بیان می‌گردد و در قسمت سوم نیز راهکارهای مورد استفاده جهت کاهش این پدیده مورد بررسی قرار خواهد گرفت. بهره‌گیری از روشهای مرسوم در زمینه جبرانسازی کمبود ولتاژ، قادر نخواهد بود این پدیده را به طور کامل برطرف نمایند. لذا در سالهای اخیر با توجه به پیشرفت صنایع نیمه‌هادی، استفاده از ادوات الکترونیک قدرت برای جبرانسازی این پدیده مورد توجه کارشناسان صنعت برق قرار گرفته است و در پایان نیز نحوه جبرانسازی کمبود ولتاژ با استفاده از جبرانگرهای مختلف مورد مطالعه قرار خواهد گرفت.



شکل (۱): نمونه‌ای از کمبود ولتاژ، بیشبود و قطعی

$$Z_S = \frac{V_n^r}{S_{source}} \quad (4)$$

$$Z_M = \frac{V_n^r}{\beta S_{motor}} \quad (5)$$

که β نسبتی بین جریان راهاندازی و جریان نامی می‌باشد. در این حالت معادله (۳) را بدین‌گونه بازنویسی می‌گردد:

$$V_{sag} = \frac{S_{source}}{S_{source} + \beta S_{motor}} \quad (6)$$

این مقدار می‌تواند برای تخمین کمبود ولتاژ به علت راهاندازی موتور القایی مورد استفاده قرار گیرد. مدت زمان کمبود ولتاژ به علت راهاندازی موتور، به تعدادی از پارامترهای موتور وابسته است که اینترسی موتور مهمترین از آنها می‌باشد. هنگامیکه زمان راهاندازی موتور تعیین می‌شود، تعیین دامنه کمبود در ترمینال موتور نیز دارای اهمیت می‌باشد. گشتاور تولید شده بوسیله موتور متناسب با مربع ولتاژ ترمینال است. با فرض آنکه ولتاژ ترمینال نامی باشد، گشتاور مکانیکی نصف گشتاور الکتریکی در حین بیشترین زمان راهاندازی است. هنگامیکه ولتاژ تا ۹۰ درصد مقدار نامی افت می‌کند، گشتاور الکتریکی تا ۸۱ درصد مقدار نامی کاهش می‌یابد که ۱۶۲ درصد گشتاور مکانیکی است. گشتاور شتابدهنده، اختلاف بین گشتاور الکتریکی و مکانیکی از ۱۰۰ درصد تا ۶۲ درصد افت نموده که یک افت ۳۸ درصدی را به همراه دارد [۱۷].

۳-۲- انرژی دارشدن ترانسفورماتور

انرژی دارشدن ترانسفورماتور، از عوامل دیگر رخداد پدیده کمبود ولتاژ در سیستم های قدرت است. نتیجه انرژی دارشدن ترانسفورماتور، ایجاد جریان هجومی است که سرانجام به یک جریان مغناطیس‌کنندگی کوچک کاهش می‌یابد. زمان لازم جهت کاهش جریان هجومی وابسته به مقاومت و راکتانس مدار شامل راکتانس مغناطیس‌کنندگی ترانسفورماتور است. در این وضعیت، جریان هجومی باعث افت ولتاژ موقت در امپدانس شبکه، بین منبع و ترانسفورماتور انرژی دار شده می‌گردد. برخلاف خطاهای اتصال کوتاه مطرح در بخش‌های قبل، انرژی دارشدن ترانسفورماتور یک حادثه عملی طراحی شده است. در نتیجه باید کمبود ولتاژ در رابطه با این رویداد، در برابر ظرفیت بارهای صنعتی حساس محدود گردد [۱۸]. بازگشت ولتاژ بعد از هر پدیده کمبود ولتاژ نیز می‌تواند ترانسفورماتور را به اشباع برد و این پدیده باعث ایجاد جریان هجومی مشابه با انرژی دارشدن ترانسفورماتور شود. شکل (۴) مدار معادل یک ترانسفورماتور تکفاز را نشان می‌دهد.

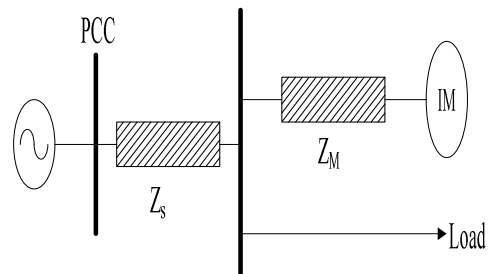
بوسیله خطأ در گره ۲ ایجاد شده است را با استفاده از رابطه زیر بدست آورد [۱۳-۱۰].

$$u_{sag,i} = u_{0,i} - \frac{Z_{ir}}{Z_{rr} + Z_F} u_{0,r} \quad (7)$$

که $u_{sag,i}$ و $u_{sag,r}$ به ترتیب کمبودهای ولتاژ در طول خطأ در گره‌های i و r هستند. مقادیر $u_{0,i}$ و $u_{0,r}$ نیز ولتاژهای قبل از خطأ می‌باشند. همچنین Z_{rr} المان قطري در ماتریس امپدانس گره، Z_{ir} المان انتقالی در ماتریس امپدانس گره که مرتبط با گره‌های i و r بوده و Z_F امپدانس خطأ است.

۲-۲- استارت موتورهای بزرگ

از دیگر عوامل مهم در ایجاد پدیده کمبود ولتاژ (که بیشتر مربوط به طراحی سیستم‌های قدرت صنعتی می‌باشد) راهاندازی موتورهای القایی بزرگ است [۱۴]. در حین استارت یک موتور القایی، جریان بزرگتری از حالت نرمال (نوعاً تا ۶ برابر) از سیستم گرفته می‌شود. این جریان تا زمانیکه موتور به سرعت نامی خود برسد، باقی می‌ماند که این پدیده نوعاً بین چند ثانیه تا یک دقیقه طول می‌کشد [۱۵-۱۶]. در این وضعیت، افت ولتاژ به شدت به پارامترهای سیستم وابسته است. به این منظور سیستم نشان داده شده در شکل (۳) را در نظر بگیرید که در آن Z_S امپدانس منبع و Z_M امپدانس موتور در حین راهاندازی است.



شکل (۳): مدار معادل کمبود ولتاژ ناشی از استارت موتور القایی

کمبود ولتاژ ایجاد شده بر روی باسی که موتور و بار را تغذیه می‌نماید، از معادله تقسیم ولتاژ زیر بدست می‌آید:

$$V_{sag} = \frac{Z_M}{Z_S + Z_M} E \quad (8)$$

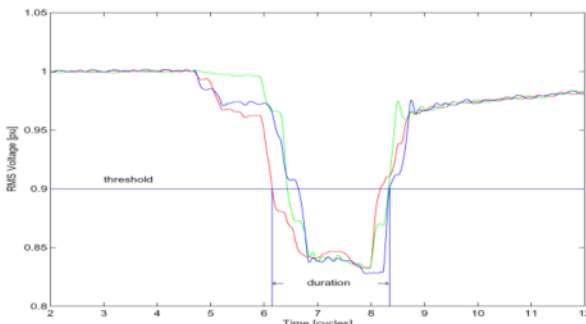
در این حالت امپدانس منبع و موتور در حین راهاندازی، با توجه به اینکه موتور در توان نامی S_{motor} از یک منبع با توان اتصال کوتاه S_{source} تغذیه گردد، این چنین بدست می‌آید:

این مدت زمان می‌تواند بعنوان اختلاف، بین زمانی که همه ولتاژهای مؤثر به بالاتر از آستانه بازمی‌گردد و زمانی که یکی از کوچکترین مقادیر ولتاژهای مؤثر به زیر آستانه سقوط می‌کند، محاسبه گردد [۲]. این مدت زمان، بوسیله زمان از بین رفتن خطای تعیین می‌شود. در نتیجه مشخصه فوق به عملکرد تجهیزات حفاظتی اضافه جریان و اینکه چه مدت جریان خطای اجازه عبور می‌یابد، وابسته است [۱۲ و ۲۰]. در شکل (۵) نحوه محاسبه این

مدت زمان نشان داده شده است.

هنگامی که یک اتصال کوتاه در سیستم قدرت رخ می‌دهد، نه تنها دامنه ولتاژ افت می‌کند، بلکه باعث تغییر زاویه فاز ولتاژ می‌شود. که آن را پرش زاویه فاز می‌نامند که مشخصه سوم در هر پدیده کمبود ولتاژ است. پرش زاویه فاز بدین مفهوم است که زاویه فاز در طول کمبود ولتاژ قبل از آن متفاوت است. پرش زاویه فاز با استفاده از روش مؤلفه پایه ولتاژ به صورت زیر توصیف می‌گردد:

$$V_{fun}(t) = \frac{2}{T} \int_{t-T}^t v(\tau) e^{j\omega\tau} d\tau \quad (8)$$

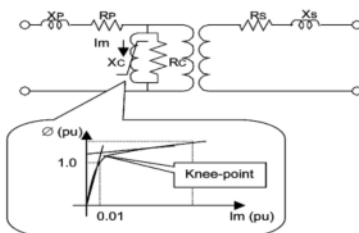


شکل (۵): محاسبه مدت زمان کمبود ولتاژ

که $\omega = \frac{2\pi}{T}$ و T یک سیکل از فرکانس اصلی است. دامنه و پرش زاویه فاز بطور مستقیم به ولتاژ در فازهای خطدار یا بین فازهای خطدار، در نقطه اتصال مشترک (PCC) بین بار و خط، مرتبط است [۱۲].

۴- راهکارهای کاهش کمبود ولتاژ

با توجه به استفاده از تجهیزات حساس در طرح‌های صنعتی مدرن نظیر فرآیندهای کنترل، PLC، درایوهای تنظیم سرعت (ASD) و روبات‌ها، دیگر پدیده کمبود ولتاژ در سیستم‌های قدرت قابل تحمل ناست و روش‌های مختلفی جهت کاهش کمبود ولتاژ بکار گرفته شده است. روش‌های مرسوم در این زمینه شامل استفاده از بانکهای خازنی، احداث فیدرهای جدید موازی و نصب منابع تغذیه



شکل (۴): مدار معادل ترانسفورماتور تکفاز

در این حالت، می‌توان از یک روش ساده برای بدست آوردن ماکریزم جریان هجومی و کمبود ولتاژ ایجاد شده به علت انرژی دار شدن ترانسفورماتور استفاده نمود. در این شرایط، جریان هجومی نمی‌تواند از رابطه زیر متجاوز گردد:

$$I_{Inrush \ max} = \frac{1}{(X + X_p + X_C(\min))} E \quad (6)$$

که در آن، X راکتانس منبع در باسی که ترانسفورماتور انرژی دارد شده است. مینیمم راکتانس مغناطیسی، $X_C(\min)$ حداکثر امکان شار بعد از انرژی دار شدن ترانسفورماتور را نشان می‌دهد. می‌توان فرض کرد که اندوکتانس فاصله هوایی می‌تواند دو برابر امپدانس اتصال کوتاه باشد، یعنی $(X_p + X_s)(\min)$ نوعاً به عنوان $2(X_p + X_s)$ یا $2X_T$ در نظر گرفته شود [۱۹]. با فرض آنکه راکتانس نشتی در هر یک سیم‌پیچ‌ها مساوی در نظر گرفته شوند، در این حالت، ماکریزم کمبود ولتاژ را می‌توان از رابطه زیر بدست آورد.

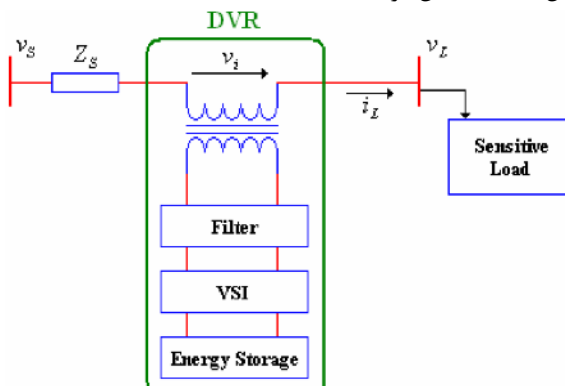
$$V_{sag} = \frac{X}{X + 2/5 X_T} \quad (7)$$

۳- مشخصه‌های کمبود ولتاژ

هر پدیده کمبود ولتاژ با سه فاکتور دامنه (ولتاژ باقیمانده)، مدت زمان و پرش زاویه فاز مشخص می‌نمایند [۲۰]. این سه مشخصه، اصلی‌ترین و مهمترین خصوصیاتی هستند که رفتار تجهیزات را تعیین می‌کنند. دامنه (ولتاژ باقیمانده) در کمبود ولتاژ، کمترین ولتاژ مؤثر در هر سه‌فاز است. این مشخصه به حساسیت تجهیزات وابسته است. دامنه بوسیله فاصله الکتریکی تا محل خطای تعیین می‌شود. عوامل مؤثر در تعیین دامنه بصورت محل خطای، نوع خطای، امپدانس خط، شرایط بار، تأثیر اتصالات ترانسفورماتور و ولتاژ قبل از خطای بیان می‌شود [۱۲ و ۲۰]. نحوه محاسبه دامنه کمبود ولتاژ قبلًا بیان شد در عوامل ایجاد کمبود ولتاژ بیان گردید.

در یک سیستم سه‌فاز، مدت زمان کمبود ولتاژ، مدت زمانی که یکی از کمترین مقادیر مؤثر ولتاژها، زیرسطح آستانه کمبود ولتاژ ۹۰ درصد ولتاژ نامی) قرار داشته است. کمبود ولتاژ، از هنگامی که یکی از مقادیر مؤثر ولتاژها به زیر آستانه سقوط کند، شروع و هنگامی که همه ولتاژهای مؤثر سه‌فاز به بالاتر از آستانه باز گردد، پایان می‌یابد.

سری تزریقی و فیلتر هارمونیکی است. که دیاگرام مداری آن در شکل (۶) به نمایش درآمده است.



شکل (۶): ساختار شماتیک جبرانگر DVR

این جبرانگر از نقطه نظر تزریق ولتاژ، به سه روش جبرانسازی هم فاز، جبرانسازی قبل از کمبود و جبرانسازی پیشرفتہ فاز قادر است به سیستم، ولتاژ تزریق نماید. [۳۰، ۳۱]

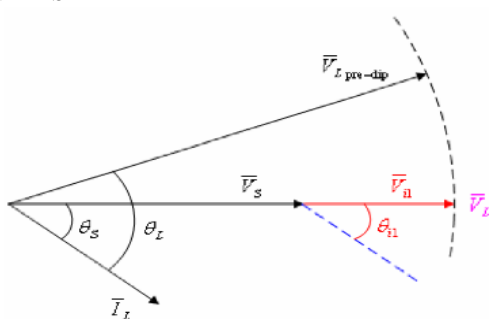
۱-۱-۴- روش جبرانسازی هم فاز (IPC)

این روش پر استفاده‌ترین، روش جبرانسازی با DVR است که در آن ولتاژ بار در طول جبرانسازی هم فاز با ولتاژ منبع، بدون توجه به جریان بار و ولتاژ پیش از خط ا است. در این حالت S_{i1} توان ظاهری تزریقی و P_{i1} توان اکتیو تزریقی بدین صورت هستند.

$$\begin{aligned} S_{i1} &= I_L V_i = I_L (V_L - V_S) \\ P_{i1} &= I_L V_i \cos \theta_s = I_L (V_L - V_S) \cos \theta_s \end{aligned} \quad (9)$$

که دامنه و زاویه ولتاژ تزریقی این چنین است:

$$\begin{aligned} V_{i1} &= V_L - V_S \\ \theta_{i1} &= \theta_S \end{aligned} \quad (10)$$



شکل (۷): دیاگرام فازوری در روش جبرانسازی هم فاز

۲-۱-۴- روش جبرانسازی قبل از کمبود (PDC)

بعضی بارها به پرش زاویه فاز خیلی حساس هستند. در این حالت نیاز به ایجاد ولتاژ بار کمکی، هم فاز با ولتاژ قبل از کمبود است. در این حالت S_{i2} توان ظاهری تزریقی و P_{i2} توان اکتیو تزریقی است که به صورت زیر تعیین می‌شود:

غیرقابل قطع (UPS) است. بکارگیری این روشها نه تنها مشکلات کیفیت توان بطور کامل حل نمی‌کند بلکه منجر به جبرانسازی توان راکتیو غیرقابل کنترل، هزینه بسیار بالا در احداث فیدرهای جدید و استفاده از منابع تغذیه غیرقابل قطع شده است [۵].

یکی دیگر از روشهای کاهش کمبود ولتاژ استفاده از استفاده از فیوزهای محدود کننده جریان است [۲۱]. در اینگونه فیوزها با محدودسازی مدت زمان عبور جریان خطا و قطع سریع محل اتصال، می‌توان کمبود ولتاژ در سیستم را کاهش داد. تنظیم و هماهنگی صحیح رله‌ها و فیوزها (بطور کلی ادوات حفاظتی) نیز می‌تواند به تصحیح این پدیده کمک نماید. این نکته قابل توجه است که ۵۰ درصد از موضوعاتی که به کمبود ولتاژ اختصاص دارد به رفتار حفاظتی و تأثیر متقابل این تجهیزات بر روی یکدیگر و کمبود ولتاژ تحمیلی از فیدرهای مجاور با تغذیه یکسان می‌پردازد [۲۲].

یکی دیگر از روشهای کاهش، انتقال فیدرها در سیستم توزیع است. که اجرای آن با استفاده از سوئیچینگ انجام شده و شامل دو گام است. در ابتدا پیدا کردن نقاط ضعف برای کمبود ولتاژ از روش ارزیابی ریسک و با استفاده از داده‌های قابلیت اطمینان، مدت و دامنه کمبود ولتاژ و ضرائب تأثیر روی مشترکین، تعیین و نقاط ضعف مشخص می‌گردد. گام بعدی انتقال نقاط ضعف به دیگر منابع در مدت عبور جریان خطا است. در این حالت نیز از روش مونت کارلو و داده‌های قابلیت اطمینان استفاده می‌شود [۲۳].

در سالهای اخیر با توجه به پیشرفت‌های سریع در صنایع نیمه‌هادی و سیستم‌های کنترلی، استفاده از جبران‌کننده‌هایی بر پایه کانورترهای منبع ولتاژ و جریان، مورد توجه کارشناسان صنعت برق قرار گرفته است. این تجهیزات که اولین بار توسط N.G.Hingorani در سال ۱۹۹۵ بیان گردید موسوم به ادوات انعطاف‌پذیر سیستم‌های انتقال (FACTS) هستند که در شبکه‌های توزیع آن‌ها را تجهیزات DFACTS یا وسایل توان مشتری می‌نامند که توانایی جبرانسازی سریع، بلادرنگ و قابل کنترل را دارا می‌باشند [۲۴، ۲۵]. استفاده از این ادوات، امروزه بطور روزافروزی مورد توجه مهندسان برق برای غلبه بر مشکلات کیفیت توان قرار گرفته است. با توجه به مطالعات صورت گرفته جهت کاهش کمبود ولتاژ، استفاده از دو نوع جبرانگر سری و موازی پیشنهاد گردیده است [۲۶].

۱-۴- تنظیم کننده دینامیکی ولتاژ

تنظیم کننده دینامیکی ولتاژ یک جبرانگر سری استاتیکی، که برای جبرانسازی کمبود ولتاژ در سطح توزیع بکار می‌رود [۲۷ - ۳۰]. این جبرانگر، یک وسیله سری بوده که ولتاژ ac را تولید کرده و آن را بصورت سری با منبع ولتاژ و از طریق یک ترانسفورماتور جهت جبرانسازی کمبود ولتاژ، تزریق می‌نماید. همچنین ولتاژ تزریقی و جریان بار، توان DVR را تعیین می‌کنند. اجزاء اصلی این جبرانگر شامل: منبع انرژی طرف dc، اینورتر منبع ولتاژ، Tرانسفورماتور

$$\begin{aligned} V_{i1} &= \sqrt{V_L^2 + V_S^2 - 2V_L V_S \cos(\theta_L - \theta_S)} \\ \theta_{i1} &= \tan^{-1} \left[\frac{V_L \sin \theta_L - V_S \sin \theta_S}{V_L \cos \theta_L - V_S \cos \theta_S} \right] \end{aligned} \quad (12)$$

۳-۱-۴- روش جبرانسازی پیشرفته فاز (PAC)

در این روش، ولتاژ بصورت پیش‌فاز در مقایسه با ولتاژ منبع و به منظور کاهش انرژی تزریقی، تزریق می‌گردد. در معادله (۱۱)، P_{i2} یا V_S یا I_L هم فاز باشند. توان تزریقی هنگامی مینیمیم که $\theta_S = 0^\circ$ یا $V_S = 0$ باشد. بنابراین برای حفظ مینیمیم توان تزریقی در فرآیند جبرانسازی، بایستی بردار ولتاژ بار بر روی یک دایره که شعاع آن برابر با دامنه ولتاژ بار حرکت کند. این روش برای بارهایی که به پرش زاویه فاز خیلی حساس هستند، نامناسب است. در این حالت، S_{i3} توان ظاهری تزریقی و P_{i3} توان اکتیو تزریقی به صورت زیر است:

$$S_{i3} = I_L V_i = I_L \sqrt{V_L^2 + V_S^2 - 2V_L V_S \cos \theta_L} \quad (13)$$

$$P_{i3} = I_L (V_L \cos \theta_L - V_S)$$

معادله بالا نشان می‌دهد هنگامی که $V_L \cos \theta_L > V_S$ است، $V_L \cos \theta_L - V_S$ برابر DVR باید یک ولتاژ به نحوی که V_S و I_L هم‌فاز نگه دارد $\theta_S = 0^\circ$ ، تزریق نماید.

هنگامی که $V_L \cos \theta_L \leq V_S$ باشد، P_{i3} منفی می‌شود. در اینصورت بایستی $\theta_S \neq 0^\circ$ باشد تا توان اکتیو صفر گردد و کمبود ولتاژ تنها بوسیله توان راکتیو جبرانسازی شود. مقدار θ_S برای جاری شدن توان صفر از رابطه زیر بدست می‌آید.

$$\theta_S = \cos^{-1} \left[\frac{V_L \cos \theta_L}{V_S} \right] \quad (14)$$

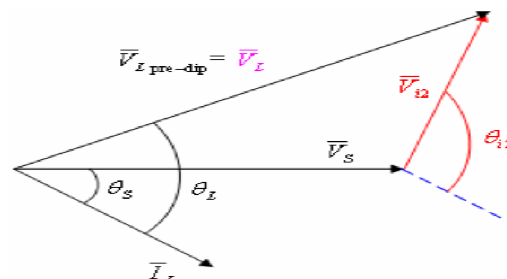
در هر دو وضعیت، دامنه و زاویه ولتاژ تزریقی به صورت زیر است:

$$V_{i3} = \sqrt{V_L^2 + V_S^2 - 2V_L V_S \cos(\theta_L - \theta_S)}$$

$$\theta_{i3} = \tan^{-1} \left[\frac{V_L \sin \theta_L - V_S \sin \theta_S}{V_L \cos \theta_L - V_S \cos \theta_S} \right] \quad (15)$$

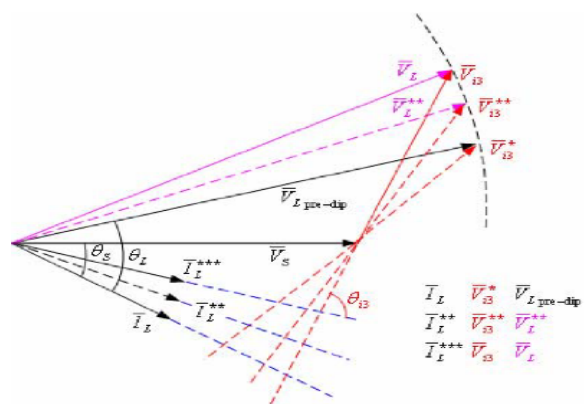
به حال از بررسی فوق، مشهود است که برای دستیابی به مینیمیم انرژی اکتیو تزریقی، روش PAC مناسب است. اما تنظیم زاویه فاز لحظه‌ای در این روش مورد نیاز بوده که باعث شکل موج ناپیوسته و نوسان توان بار خواهد شد. این موضوع می‌تواند برای بارهای حساس، تعیین کننده است. در مرجع [۳۰] مطالبی پیرامون یک الگوریتم پیشنهادی که تلفیقی از دو روش PAC، IPC ارائه گردیده که جهت فائق آمدن بر مشکل مذکور راه‌گشای است.

$$\begin{aligned} S_{i2} &= I_L V_i = I_L \sqrt{V_L^2 + V_S^2 - 2V_L V_S \cos(\theta_L - \theta_S)} \\ P_{i2} &= I_L (V_L \cos \theta_L - V_S \cos \theta_S) \end{aligned} \quad (11)$$

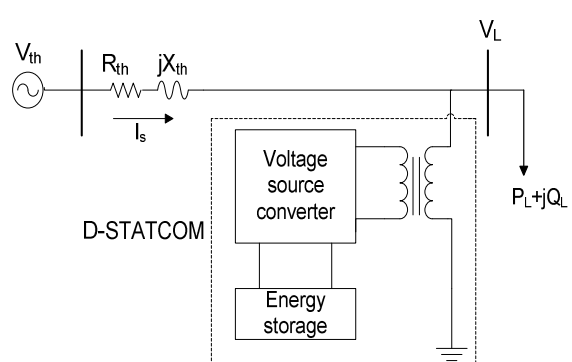


شکل (۸): دیاگرام فازوری در روش جبرانسازی قبل از کمبود

از نقطه نظر کیفیت توان، روش PDC بهترین استراتژی جبرانسازی است. بدلیل اینکه در این روش ولتاژ به دامنه آن قبل از کمبود بازگردانده شده و فاز آن نیز بدون تغییر است، می‌تواند برای بازگرداندن ولتاژ بار بکار رود. لذا دامنه و زاویه ولتاژ تزریقی به ترتیب عبارتند از:



شکل (۹): دیاگرام فازوری در روش جبرانسازی پیشرفته فاز



شکل (۱۰): جبرانگر ولتاژ موازی

$$P_L = \frac{V_{th}V_L}{Z_{th}} \cos(\beta - \delta) - \frac{V_L^2}{Z_{th}} \cos \beta \quad (19)$$

از معادله (۱۹)، زاویه δ برابر است با:

$$\delta = \beta - \cos^{-1} \left[\frac{V_L}{V_{th}} \cos \beta + \frac{Z_{th} P_L}{V_{th} V_L} \right] \quad (20)$$

البته برای مقدار امکان پذیر δ ، باید شرط زیر ارضاء گردد:

$$\frac{V_L}{V_{th}} \cos \beta + \frac{Z_{th} P_L}{V_{th} V_L} \leq 1 \quad (21)$$

که شرط فوق را می‌توان به شکل (۲۱) بازنویسی نمود:

$$V_{th} \geq (V_L \cos \beta + Z_{th} \frac{P_L}{V_L}) \quad (22)$$

بنابراین هنگامیکه دامنه ولتاژ سیستم، معادله (۲۲) را ارضاء نماید، جبرانگر $D\text{-Statcom}$ می‌تواند کمبود ولتاژ را بدون تزریق هرگونه توان اکتیوی به سیستم، تصحیح نماید. برای چنین وضعیتی، جریان و توان ظاهری تزریقی $D\text{-Statcom}$ ، به آسانی می‌تواند از معادلات (۱۷) و (۱۸) بدست آید. متذکر می‌شویم که توان ظاهری تزریقی، تنها شامل مؤلفه راکتیو است.

۲-۴-۲- تزریق توان ظاهری مینیمم (**MAPI**)

همانطور که قبلاً متذکر شدیم، هنگامیکه دامنه جریان تزریقی مینیمم گردد، $D\text{-Statcom}$ می‌تواند کمبود ولتاژ را با تزریق توان ظاهری مینیمم به سیستم تصحیح نماید. بنابراین شرط تزریق توان ظاهری مینیمم این چنین است.

$$\frac{\partial I_{sh}}{\partial \delta} = 0 \quad (23)$$

یک بیان تحلیلی از I_{sh} را می‌توان از معادله (۱۷) بدست آورد و از حل معادله (۲۳) نیز به رابطه زیر رسید.

$$\delta = \tan^{-1} \left[\frac{Z_{th} I_L \sin(\beta - \theta)}{V_L + Z_{th} I_L \cos(\beta - \theta)} \right] \quad (24)$$

بنابراین برای یک بار داده شده، مقدار δ را می‌توان به آسانی از معادله (۲۴) بدست آورد. اگر δ مشخص باشد، جریان و توان

۴-۲- جبرانگر سنکرون استاتیکی توزیع

جبرانگر $D\text{-Statcom}$ معمولاً برای جبران کمبود ولتاژ بکار رفته و از آن می‌توان برای محدودسازی نوسانات توان اکتیو و راکتیو یا جریانهای هارمونیکی کشیده شده توسط بار نیز استفاده نمود. این جبرانگر در صورتی که در سیستم انتقال قدرت استفاده شود، $Statcom$ و در صورتی که در سیستم توزیع استفاده شود، $D\text{-Statcom}$ (که به صورت سه فاز و موازی، نزدیک بار نصب می‌گردد) نامیده می‌شود [۳۶ - ۳۲]. اجزاء اصلی جبرانگر $D\text{-Statcom}$ در شکل (۱۰) نمایش داده شد. همانطور که مشاهده کردید جبرانگر $D\text{-Statcom}$ شامل خازن dc ، اینورتر سه‌فاز، فیلتر ac ، ترانسفورماتور تزویج و استراتژی کنترل است. در این دیاگرام، جریان تزریقی موازی I_{sh} ، کمبود ولتاژ را بوسیله تنظیم ولتاژ در طول امپدانس سیستم Z_{th} تصحیح می‌نماید. مقدار I_{sh} می‌تواند بوسیله تنظیم ولتاژ خروجی کانورتر کنترل شود

$$I_{sh} = (I_L - I_S) = I_L - \frac{V_{th} - V_L}{Z_{th}} \quad (16)$$

$$I_{sh} \angle \eta = I_L \angle -\theta - \frac{V_{th}}{Z_{th}} \angle (\delta - \beta) + \frac{V_L}{Z_{th}} \angle -\beta \quad (17)$$

توان تزریقی $D\text{-Statcom}$ را می‌توان این‌گونه بیان کرد:

$$S_{sh} = V_L I_{sh}^* \quad (18)$$

در اینجا باید متذکر شد که تأثیر $D\text{-Statcom}$ در تصحیح کمبود ولتاژ به مقدار Z_{th} یا سطح خطای در باس مربوطه وابسته است. هنگامیکه جریان موازی تزریقی I_{sh} عمود بر V_L نگاه داشته شود، تصحیح مطلوب ولتاژ می‌تواند بدون تزریق هرگونه توان اکتیوی به سیستم بدست می‌آید. از طرف دیگر، هنگامیکه مقدار I_{sh} مینیمم گردد، تصحیح ولتاژ یکسانی را می‌توان با تزریق مینیمم توان ظاهری به سیستم، بدست آورد. تصحیح کمبود ولتاژ بوسیله جبرانگر $D\text{-Statcom}$ با استفاده از دو تکنیک صورت می‌پذیرد [۳۷].

۴-۲-۱- تزریق توان اکتیو صفر (**ZAPI**)

در این حالت، جبرانگر $D\text{-Statcom}$ هیچ‌گونه توان اکتیوی به سیستم تزریق نمی‌کند. بنابراین توان اکتیو بار سراسری (P_L) باید بوسیله معادل تونن سیستم مهیا گردد. توان اکتیو جاری از طریق امپدانس تونن در شکل (۱۰) (طرف بار)، را می‌توان این‌گونه نوشت:

مراجع

- [1] J. A. Martinez, J. Martin-Arnedo, limitation., "Voltage sag studies in distribution networks—part II: voltage sag assessment," IEEE Trans. Pow. Del., Vol. 21, No. 3, p.p. 1679–1688, Jul. 2006.
- [2] J. Schlabach, D. Blume, T. Stephanblome, "Voltage quality in electrical power system", IEEE/Inst. Elect. Eng. Press, p.p. 103–127, 2001.
- [3] J. Wan, Y. Li,X. Gao, Y. Zhou, "Study of the detection and analysis methods of power quality", IEEE/ICECE, p.p. 2063-2066, 2010.
- [4] P. Hongbin, L. An and etc, "Development of a shunt type of high power quality regulating device", power system technology, Vol.33,p.p. 11-16. January, 2009.
- [5] Roger C Dugan, Mark F. McGranaghan, H Wayne Beaty, "Electrical power systems quality", McGraw Hill Companies, Inc, 1996.
- [6] A. Sannino, J. Svensson, T. Larsson, "Review power-electronic solutions to power-quality problems", Electric Power Systems Research, Vol. 66, p.p. 71 – 82, July 2003.
- [7] S.R. Naidu,, G.V. de Andrade, E.G. da Costa, "Voltage sag performance of a distribution system and its improvement", IEEE Trans. On Industry Applications, Vol. 48, No. 1, pp. 218-224, Februy 2012
- [8] B.E. Kushare, A.A. Ghatol, S. Kala, "Development of web based power quality monitoring system for handling user custom power quality query and auto power quality monitoring report notification via email", IEEE/ICTES, pp. 1-7, 2007.
- [9] IEEE Std. 1159-1995. Ieee recommended practice for monitoring electric power quality. Technical report, The Institute of Electrical and Electronics Engineers, Inc, 1995.
- [10] A. Sannino, M. G. Miller, M. H.J. Bollen, "Overview of voltage sag mitigation".IEEE/Power Engineering Society Winter Meeting, Vol. 4, p.p. 2872 – 2878, Jan. 2000.
- [11] J. A. Martinez and J. Martin-Arnedo, limitation., "Voltage sag studies in distribution networks—Part I: System Modeling", IEEE Trans. Power Del., Vol. 21, No. 3, pp. 338–345, Jul. 2006.
- [12] C. Radhakrishna, M. Eshwardas, and G. Chebiyam, "Impact of voltage sag in practical power system Network", IEEE/PES. Vol. 1, pp.567-572, Oct. 2001.
- [13] M.H.J. Bollen, "Understanding power quality problems - voltage sags and interruptions", IEEE Press, New York, 2000
- [14]X. Wang, J. Yong,, W. Xu,, W.Freitas, "Practical power quality charts for motor starting assessment", IEEE Trans. On Pow.Del, Vol. 26, No. 2, April 2011.
- [15] A. F. Huweg S. N. Basi ,N. Mariun, "A STATCOM simulation model to improve voltage sag due to starting of high power induction motor",

ظاهری تزریقی *D-Statcom* را می‌توان به ترتیب از معادلات (۱۷) و (۱۸) بدست می‌آید.

۵- نتیجه‌گیری

درسال‌های اخیر با واگذاری صنعت برق به بخش خصوصی و تقاضای روز افرون این انرژی، شرکت‌های برق برای اثبات میزان شایستگی خود در رقابت با سایر شرکت‌ها، در صدد تأمین برقی باکیفیت توان بالایی برای تحویل به مشترکین خود هستند. همانطور که در این مقاله بیان شد کمبود ولتاژ از دیرباز جزء یکی از شایع‌ترین و مهمترین مشکلات کیفیت توان بوده، که توجه سیاری از مهندسین برق به خود جلب کرده است. کمبود ولتاژ جزء پدیده‌های گذار است که عمدها به سبب خطاهای اتصال کوتاه، راهاندازی موتورهای بزرگ و انرژی دار شدن ترانسفورماتور ایجاد می‌گردد. برای رفع این پدیده گذرا روش‌های مختلفی بیان گردید، که روش‌های مرسوم (مانند استفاده از بانکهای خازنی، احداث فیدرهای جدید موازنی، نصب منابع تغذیه غیرقابل قطع، تنظیم صحیح رله‌ها و بکارگیری فیوزهای محدود‌کننده جریان) به طور کامل قادر به رفع این چالش نیستند. لیکن با پیشرفت تکنولوژی ادوات نیمه‌هادی الکترونیک قدرت و معرفی تجهیزات *DFACTS*، نگرشی نوین برای رفع این مشکل بوجود آمده است. عمدت‌ترین ادوات مورد استفاده جهت کاهش کمبود ولتاژ درسطح توزیع، جبرانگرهای *DVR* و *D-Statcom* است.

استفاده از جبرانگر *DVR* می‌تواند در صد رضایت بخشی کیفیت توان در سیستم قدرت را افزایش دهد لیکن دارای معايیت مانند عدم جبرانسازی قطعی در سیستم قدرت، همچنین هرگونه اشکال در عملکرد این جبرانگرها موجب قطعی مصرف‌کننده (با توجه نحوه قرارگیری سری در سیستم) خواهد شد.

لیکن جبرانگر *D-Statcom* قادر است در صورت بروز قطعی کوتاه مدت در منع تغذیه شبکه، انرژی ذخیره‌شده خود را در مدت قطعی تحویل دهنده. این کاربرد جبرانگر در مدت قطعی، درست همانند عملکرد *UPS* است. برای عملکرد پیوسته بار، باید فوراً منبع را با کلید الکترونیکی قطع نموده و جبرانگر را همانند یک ژنراتور وارد عمل نمود. پس از برطرف شدن خطای منبع، جبرانگر مجدداً با سیستم سنتکرون شده و کلید الکترونیکی بسته می‌شود. پس با توجه به این مزایای عنوان شده درخصوص استفاده از جبرانگر *D-Statcom* نسبت به جبرانسازی سری، جهت جبرانسازی پدیده کمبود ولتاژ از جبرانگر موازن استفاده شود.

- IEEE/MELECON.2006, p.p. 990-993, Spain, 16-19 May 2006.
- [31] Brice J. Quirl, Brian K. Johnson, Herb L. Hess, "Mitigation of voltage sag with phase jump using a dynamic voltage restorer," Power Symposium 2006, NAPS 2006, 38th North American, p.p. 647-654, September 2006.
- [32] S. Naetiladdanon, "Design considerations of DSTATCOM for voltage sag compensation without interaction", IEEE/ECTICON, Vol. 2, p.p. 989-992, 2008.
- [33] S. Naetiladdanon, "Voltage sag compensation performance by DSTATCOM with series inductor and energy storage", IEEE/PEDS, p.p. 550-554, 2007.
- [34] S.H. Hosseini, A .Nazarloo, E. Babaei, "Application of D-STATCOM to improve distribution system performance with balanced and unbalanced fault conditions", IEEE/EPEC, p.p. 1-6, 2010.
- [35] H. Nasiraghdam, A. Jalilian, "Balanced and unbalanced voltage sag mitigation using DSTATCOM with linear and nonlinear loads", IEEE/PWASET, Vol. 22, p.p. 20-25, July 2007.
- [36] K.Murugesan, R. Muthu, "Modeling and simulation of D-STATCOM for voltage regulations", IEEE/ ICEES, p.p. 1-5,2011.
- [37] N. Khelef, A. Mohamed, H. Shareef, "Practical mitigation of voltage sag in distribution networks by combining network reconfiguration and DSTATCOM", IEEE/PEC, Malaysia, Nov 29 - Dec 1, 2010.

رزومه



غضنفر شاهقلیان (متولد آذر ماه سال ۱۳۴۷ شهر اصفهان) دارای دکتری تخصصی در رشته مهندسی برق - قدرت از دانشگاه علوم و تحقیقات در سال ۱۳۸۵ می باشد. وی دوره کارشناسی و کارشناسی ارشد خود را نیز در رشته مهندسی برق - قدرت در سال ۱۳۷۰ و ۱۳۷۳ به ترتیب در دانشگاه صنعتی اصفهان و دانشگاه تبریز به پایان رسانده است. زمینه تخصصی الکترونیک قدرت، دینامیک سیستم، ماشینهای الکتریکی، کنترل و شبیه سازی سیستمها می باشد. از ایشان تاکنون بیش از صد مقاله علمی در کنفرانس‌های ملی و بین المللی و مجلات معتبر چاپ شده است. چاپ هشت کتاب در زمینه‌های مدارهای الکتریکی، ماشینهای الکتریکی و بررسی سیستمهای قدرت و ارائه چند طرح تحقیقاتی از دیگر فعالیت‌های علمی ایشان می باشد.

- National Power & Energy Conference, 2004 Proceedings, p.p. 148-152 , Malaysia, 2004.
- [16] J.C. Gomez, M.M. Morcos, C. Reineri, and G. Campetelli, "Induction motor behavior under short interruptionsand voltage Sags", IEEE Po. Eng. Re, p.p. 11-15, 2001.
- [17] M. h. J Bollen, and M. Hager, C. Roxenius, "Effect of induction motor and other loads on voltage dips: theory and measurements", 2003 Bologna PowerTeach conference, june. 2003.
- [18] M. Nagpal, T. G. Martinich, A. Moshref, K. Morison, P. Kundur, "Assessing and limiting impact of transformer inrush current on power quality", IEEE Trans. Pow. Del., Vol. 21, No. 2, p.p. 890-896, Apr. 2006.
- [19] J. H. Brunke, K. J. Fröhlich, "Influence of phase-angle jump on inrush current of tansformers" IEEE Melecon, Vol. 25, No. 1, p.p. 244–260, May. 2006.
- [20] A. Sannino, "Power quality and electromagnetic compatibility courses compendium", Chalmers University of Technology, Dept. of Electric Power Engineering, Spring 2004.
- [21] G.A. Taylor, "Power quality hardware solutions for distribution systems: custom power", IEE Nonh Eastern Centre Power Seclion Symposium,p.p. 11/1-11/9. Durham, UK, 1995.
- [22] J.C. Gomez, G.N. Campetelli, "Voltage sag mitigation by current limiting fuses", IEEE/IAC, Vol. 5, p.p. 3202-3207, 2000.
- [23] C. Sharmela, G. Uma, M. R Mohan, K. Karthikeyan, "Multi-level distribution Statcom for reducing the effect of voltage sag and swell,", Internatinal Conference on Power system Technology, singapore, Vol. 1, p.p. 306-310, Nov. 2004.
- [24] A.K. Sahoo, T. Thyagarajan, "Modeling of facts and custom power device in distribution network to improve power quality", IEEE/ICPWS, p.p. 1-7, 2009.
- [25] N. G. Hingorani, "Introducing custom power," IEEE/Spectr., vol. 31, No.6, p.p. 41–48, Jun. 1995.
- [26] S.V. Ravi Kumar , S. Siva Nagaraju, "Simulation of DSTATCOM and DVR in power systems", ARPNJ. of Eng. Ap.plied Sciences, Vol. 2, No. 3, p.p. 7-13, June 2007.
- [27] Jowder, F.A.L, "Design and analysis of dynamic voltage restorer for deep voltage sag and harmonic compensation", IET Gener. Trans. 2009, Vol.3, No.6, p.p. 547–560, 2009.
- [28] C. Benachaiba, and B. Ferdi, "Voltage quality improvement using DVR", Electrical Power Quality and Utilisation, Journal Vol. XIV, No. 1, 2008.
- [29] J. Praveen, B.P. Muni, S. Venkateshwarlu, H.V. Makthal, "Review of dynamic voltage restorer for power quality im rovement", IEEE/IECON, Vol.1, p.p. 749-754, Korea, 2-6 November 2004.
- [30] A. Moreno-Munoz, D. Oterino, M. Gonzalez, F.A.Olivencia, J.J. Gonzalez-dela-la-Rosa, "Study of sag compensation with DVR",



زهرا عظیمی متولد سال ۱۳۶۵ شهر اصفهان است. وی دوره کارشناسی و کارشناسی ارشد خود را در دانشگاه آزاد اسلامی واحد نجف آباد گذرانده است. زمینه تحقیقاتی ایشان ادوات FACTS، الکترونیک قدرت، دینامیک سیستم های قدرت می باشد.